УДК 533+517.958

ВИХРЕВОЙ РАЗЛЕТ ОДНОАТОМНОГО ГАЗА ВДОЛЬ ПЛОСКИХ КРИВЫХ

Р. Ф. Шаяхметова

Институт механики им. Р. Р. Мавлютова Уфимского федерального исследовательского центра РАН, 450054 Уфа, Россия E-mail: shayakhmetova.renata@gmail.com

Рассматривается инвариантная подмодель уравнений газовой динамики, построенная на трехмерной подалгебре с проективным оператором для случая одноатомного газа. Подмодель сведена к уравнению Абеля, для которого построены интегральные кривые. Для сепаратрисы седла исследовано приближенное решение. Подобные решения описывают вихревой разлет газа вдоль плоских кривых, расположенных на поверхности вращения.

Ключевые слова: газовая динамика, инвариантное решение, проективный оператор, уравнение Абеля.

DOI: 10.15372/PMTF20180207

Введение. В случае одноатомного газа система уравнений газовой динамики (УГД) имеет вид [1]

$$\rho D \boldsymbol{u} + \nabla p = 0,$$
 $D \rho + \rho \nabla \cdot \boldsymbol{u} = 0,$ $DS = 0,$ $S = p \rho^{-5/3},$

где $D = \partial_t + \boldsymbol{u} \cdot \nabla$ — оператор полного дифференцирования; $\nabla = (\partial_x, \partial_y, \partial_z)$ — градиент; \boldsymbol{u} — скорость; ρ — плотность; p — давление; S — функция энтропии. Газодинамические функции $\boldsymbol{u} = (u, v, w), \rho, p, S$ зависят от времени t и декартовых координат x, y, z.

Система УГД допускает группу преобразований с 14-мерной алгеброй Ли. В работе [2] построена оптимальная система из 1248 неподобных подалгебр. Специфика одноатомного газа заключается в том, что УГД допускают проективное преобразование, впервые обнаруженное Л. В. Овсянниковым в 1958 г. [1]. Подалгебры, не содержащие проективный оператор, входят в оптимальную систему 13-мерной алгебры Ли, допускаемой в случае политропного газа. Групповые решения на таких подалгебрах частично рассмотрены в [3]. Подалгебр, содержащих проективный оператор, значительно меньше, все они представлены в работе [4]. Групповой анализ модели одноатомного газа естественно начать с изучения инвариантных движений на подалгебрах с проективным оператором. В работе [5] из решения, описывающего состояние покоя, под действием проективного преобразования получено решение, которому соответствует однородное расширение или сжатие, а также

Работа выполнена в рамках проекта "Развитие группового анализа моделей гидродинамического типа" (государственное задание № 0246-2018-0005).

[©] Шаяхметова Р. Ф., 2018

нестационарное решение, порождаемое движением типа сферического источника или стока. В работе [5] также с помощью проективного преобразования простой волны Римана решена задача о распаде разрыва, в случае когда в начальный момент времени однородно расширяющийся или сжимающийся газ граничит с областью нулевого давления. С помощью решения Седова [6] в [5] исследована задача о точечном взрыве в однородно расширяющемся или сжимающемся газе. В работе [7] получена инвариантная подмодель на одномерной подалгебре, содержащей проективный оператор, в случае произвольной размерности пространства независимых переменных. Для этой подмодели рассматривается особое инвариантное решение, описывающее одномерные течения из источника в вакуум и фокусировку газа внутри сферы или цилиндра с ударными волнами. В [3] исследовались инвариантные и частично инвариантные подмодели УГД в плоском случае, порождаемые подалгебрами с проективным оператором. Построено точное решение, обладающее дискретной симметрией — инвариантностью относительно поворота вокруг начала координат на угол конечной величины. Получено непрерывное решение, описывающее движение газа, содержащего области вакуума. В явном виде найдено решение, описывающее растекание полосы газа (уменьшение давления) до значений, соответствующих вакууму, с одновременным вращением. В работе [8] построена оптимальная система подалгебр с проективной симметрией для модели двумерных изоэнтропических движений газа, получены и исследованы инвариантные решения ранга нуль ("простые" решения). В [9] исследована подмодель вихря Овсянникова с проективной симметрией, описывающая движение газа с нестационарными источником и стоком. Для задачи о движении объема газа между поршнями сферической формы получено решение с инвариантной ударной волной. Модель мелкой воды для пространственного сдвигового потока также обладает проективной симметрией, допускаемая в этом случае алгебра Ли изоморфна алгебре Ли для уравнений двумерных изоэнтропических движений политропного газа с показателем адиабаты $\gamma=2$ [10]. В работе [11] рассмотрено регулярное частично инвариантное решение ранга один и дефекта два, которое сводится к инвариантному неявному уравнению. При различных значениях физических параметров происходит перестройка многообразия ветвления интегральных кривых. Решение описывает нестационарные движения газа с дозвуковым и сверхзвуковым режимами течения.

Несмотря на большое количество работ и полученные оригинальные примеры движений газа, сформулированная выше задача решена не полностью. Полную классификацию инвариантных решений необходимо проводить на основе работы [3]. В настоящей работе впервые рассмотрена серия трехмерных подалгебр (подалгебры 3.7 из оптимальной системы [3]), для которой инвариантная подмодель ранга один сведена к уравнению Абеля. Построены и исследованы интегральные кривые этого уравнения, для приближения одной из интегральных кривых дана физическая интерпретация задаваемого движения. Двумерная подалгебра, вложенная в выбранную серию подалгебр при некотором значении параметра, рассмотрена в работах [12, 13], в которых описан класс решений с частично линейным полем скоростей.

1. Инвариантная подмодель. Рассматривается серия подалгебр с базисом из операторов $aX_2+X_6, -X_3+aX_5, X_{10}+X_{12}+b(X_{11}-X_{13}),$ где a>0, b — произвольные параметры. В декартовой системе координат $X_2=\partial_y, X_3=\partial_z$ — операторы переносов по координатам $y, z; X_5=t\,\partial_y+\partial_v, X_6=t\,\partial_z+\partial_w$ — операторы галилеевых переносов по $y, z; X_{10}=\partial_t$ — оператор переноса по времени $t; X_{12}=t^2\,\partial_t+tx\,\partial_x+ty\,\partial_y+tz\,\partial_z+(x-tu)\,\partial_u+(y-tv)\,\partial_v+(z-tw)\,\partial_w-3t\rho\,\partial_\rho-5tp\,\partial_p$ — оператор проективных преобразований; $X_{11}=t\,\partial_t+x\,\partial_x+y\,\partial_y+z\,\partial_z, X_{13}=t\,\partial_t-u\,\partial_u-v\,\partial_v-w\,\partial_w-3\rho\,\partial_\rho-5p\,\partial_p$ — операторы растяжений [1. С. 33]. В работе [4] для этой серии подалгебр получено следующее инвариантное

решение:

$$u = \bar{u}(\bar{x}) e^{b\tau} (1+t^2)^{-1/2} + tx(1+t^2)^{-1},$$

$$v = \bar{v}(\bar{x}) e^{b\tau} (1+t^2)^{-1/2} + (ty-az)(1+t^2)^{-1},$$

$$w = -\bar{w}(\bar{x}) e^{b\tau} (1+t^2)^{-1/2} + (tz+a^{-1}y)(1+t^2)^{-1},$$

$$\rho = \bar{\rho}(\bar{x}) e^{3b\tau} (1+t^2)^{-3/2}, \qquad p = \bar{p}(\bar{x}) e^{5b\tau} (1+t^2)^{-5/2},$$

$$S = \bar{S}(\bar{x}), \qquad \bar{x} = x e^{-b\tau} (1+t^2)^{-1/2}, \qquad \tau = \operatorname{arctg} t,$$

$$(1.1)$$

с использованием которого для системы УГД построена инвариантная подмодель из обыкновенных дифференциальных уравнений

$$(\bar{u} - b\bar{x})\bar{u}_{\bar{x}} + \bar{p}_{\bar{x}}/\bar{\rho} = -b\bar{u} - \bar{x}, \qquad (\bar{u} - b\bar{x})\bar{v}_{\bar{x}} = -b\bar{v} - a\bar{w},$$

$$(\bar{u} - b\bar{x})\bar{w}_{\bar{x}} = -b\bar{w} + a^{-1}\bar{v}, \qquad (\bar{u} - b\bar{x})\bar{\rho}_{\bar{x}} + \bar{\rho}\bar{u}_{\bar{x}} = -3b\bar{\rho},$$

$$(\bar{u} - b\bar{x})\bar{S}_{\bar{x}} = 0, \qquad \bar{S} = \bar{p}\bar{\rho}^{-5/3}.$$

$$(1.2)$$

Система (1.2) допускает отражения $\bar{x} \to -\bar{x}, \ a \to -a, \ b \to -b$ и $\bar{u} \to -\bar{u}, \ a \to -a, \ b \to -b,$ а также следующие преобразования:

$$D_1$$
: $\bar{\rho}' = A\bar{\rho}$, $\bar{p}' = A\bar{p}$, $\bar{S}' = A^{-2/3}\bar{S}$,
 D_2 : $\bar{x}' = B\bar{x}$, $\bar{u}' = B\bar{u}$, $\bar{p}' = B^2\bar{p}$, $\bar{S} = B^2\bar{S}$,
 D_3 : $\bar{v}' = D\bar{v}$, $\bar{w}' = D\bar{w}$.

Решения системы (1.2) рассматриваются с точностью до этих преобразований. При $\bar{u}=b\bar{x}$ получается частное решение

$$b = 0, \bar{u} = \bar{v} = \bar{w} = 0, \bar{\rho} = -\bar{p}_{\bar{x}}\bar{x}^{-1}, (1.3)$$

где $\bar{p}(\bar{x})$ — произвольная функция. Решение (1.3), исследованное в работе [14], задает сгущение газа к стенке x=0 и отражение газа от нее с растеканием (уменьшением давления) до значений, соответствующих вакууму. Движение частиц происходит по гиперболам, лежащим на конусе.

2. Интегралы подмодели. Пусть $\bar{u} \neq b\bar{x}$, тогда $\bar{S} = S_0$ — постоянная. В случае b=0 система интегрируется:

$$\bar{u}\bar{\rho} = A_0, \qquad 5S_0\bar{\rho}^{8/3} + A_0^2 + (\bar{x}^2 - B_0^2)\bar{\rho}^2 = 0,$$

 $\bar{v} = C_0\cos\Theta, \qquad \bar{w} = C_0a^{-1}\sin\Theta, \qquad \Theta = A_0^{-1}\int_0^{\bar{x}}\bar{\rho}(\bar{x})\,d\bar{x}.$

Полученное решение описывает растекание (с вращением) "хребта" давления в направлении оси x > 0 до значений, соответствующих вакууму.

Далее рассматривается случай $b \neq 0$. По формуле

$$\bar{x}_s = \bar{u} - b\bar{x} \neq 0 \tag{2.1}$$

вводится новая независимая переменная s, которая определена с точностью до постоянного слагаемого, т. е. допускается преобразование

$$T_1: s' = s + d.$$

В новых переменных второе и третье уравнения системы (1.2) линеаризуются:

$$\bar{v_s} = -b\bar{v} - a\bar{w}, \qquad \bar{w_s} = -b\bar{w} + a^{-1}\bar{v}.$$

Общее решение этих уравнений имеет вид

$$\bar{v} = aC_1 \sin(s + \varphi_0) e^{-bs}, \quad \bar{w} = -C_1 \cos(s + \varphi_0) e^{-bs},$$

где $C_1,\ \varphi_0$ — постоянные. С использованием преобразований $T_1,\ D_3$ можно получить $\varphi_0=0,\ C_1=1.$ Остальные уравнения системы (1.2) принимают вид

$$\bar{u}_s + b\bar{u} + \bar{x} + (5/2)S_0(\bar{\rho}^{2/3})_s\bar{x}_s^{-1} = 0,$$

 $\bar{\rho}_s + \bar{\rho}\bar{u}_s\bar{x}_s^{-1} + 3b\bar{\rho} = 0.$ (2.2)

В силу (2.1) из уравнений (2.2) исключается \bar{u} :

$$\bar{x}_{ss} + 2b\bar{x}_s + (b^2 + 1)\bar{x} + (5/2)S_0(\bar{\rho}^{2/3})_s\bar{x}_s^{-1} = 0,$$

 $\bar{\rho}_s/\bar{\rho} + \bar{x}_{ss}/\bar{x}_s + 4b = 0 \implies \bar{\rho}\bar{x}_s e^{4bs} = C$

(C- постоянная интегрирования). С использованием преобразований D_1, D_2 можно получить $C=\pm 1, S_0=\pm 1.$

Таким образом, система сводится к одному нелинейному обыкновенному дифференциальному уравнению второго порядка

$$\bar{x}_{ss} + 2b\bar{x}_s + (b^2 + 1)\bar{x} = (5/3)e^{-(8/3)bs}\bar{x}_s^{-5/3}(\bar{x}_{ss}\bar{x}_s^{-1} + 4b),$$
 (2.3)

инвариантные функции определяются по формулам

$$\bar{u} = \bar{x}_s + b\bar{x}, \qquad \bar{v} = a\sin(s)e^{-bs}, \qquad \bar{w} = -\cos(s)e^{-bs},$$

$$\bar{\rho}\bar{x}_s e^{4bs} = \pm 1, \qquad \bar{S} = \pm 1, \qquad \bar{p} = \pm \bar{\rho}^{5/3}.$$
(2.4)

В результате замены $\bar{x} = k(s) e^{-bs}$ уравнение (2.3) приводится к автономному виду

$$k_{ss} + k = (5/3)(k_s - bk)^{-8/3}(k_{ss} + 2bk_s - 3b^2k),$$

где $k \neq e^{bs}$ в силу (2.1); $k \neq k_0$ — постоянная. Порядок уравнения уменьшается путем замены $k_s = n(k)$:

$$n_k n = \frac{(5/3)(2bn - 3b^2k) - k(n - bk)^{8/3}}{(n - bk)^{8/3} - 5/3}, \qquad n \neq bk.$$

После подстановки $n = bk + m^3(k)$ уравнение записывается в рациональном виде

$$\frac{dm}{dk} = \frac{-(1+b^2)km^6 + bm(5-m^8)}{3(bk+m^3)(m^8-5/3)}.$$
(2.5)

С использованием преобразования растяжения $m \to (5/3)^{1/8} m, k \to (5/3)^{3/8} b^{-1} k$ уравнение (2.5) приводится к виду

$$\frac{dm}{dk} = \frac{-\varepsilon k m^6 + m(3 - m^8)}{3(k + m^3)(m^8 - 1)},\tag{2.6}$$

где $\varepsilon = (1 + b^2)b^{-2} > 1$. Замена

$$k = f(m) + \frac{3 - m^8}{\varepsilon m^5}, \quad p = -\frac{18}{5\varepsilon m^5}, \quad A(\varepsilon) = \frac{4 - \varepsilon}{6\varepsilon} \left(\frac{18}{5\varepsilon}\right)^{3/5}, \quad B(\varepsilon) = \frac{\varepsilon - 1}{6\varepsilon} \left(\frac{18}{5\varepsilon}\right)^{11/5}$$

приводит (2.6) к уравнению Абеля в каноническом виде

$$ff_p - f = -\frac{5}{36}p + A(\varepsilon)p^{-3/5} + B(\varepsilon)p^{\delta}, \qquad \delta = -\frac{11}{5},$$

которое интегрируется в элементарных функциях только при $\delta = -7/5$, B < 0 [15]. Проведем качественный анализ и численное интегрирование уравнения (2.6).

3. Интегральные кривые. Уравнение (2.6) имеет интегральную прямую m=0, которой соответствует решение (1.3). При преобразовании отражения $m\to -m,\ k\to -k$ уравнение (2.6) остается инвариантным, поэтому можно исследовать интегральные кривые в полуплоскости m>0. Уравнение (2.6) имеет три элементарные особые точки: (0,0), $(1,2\varepsilon^{-1}),\ (-1,-2\varepsilon^{-1})$. Точка (0,0) представляет собой седло, m=0— его сепаратриса, вторая сепаратриса имеет асимптотику

$$k = -\frac{1}{4}m^3 + \frac{1}{192}(8+\varepsilon)m^{11} + O(m^{19}).$$

Линеаризованное в особой точке $(1, 2\varepsilon^{-1})$ уравнение (2.6) принимает вид

$$\frac{d\bar{m}}{d\bar{k}} = \frac{-18\bar{m} - \varepsilon\bar{k}}{24(2\varepsilon^{-1} + 1)\bar{m}},\tag{3.1}$$

где $\bar{m}=m-1;\ \bar{k}=k-2\varepsilon^{-1}$. Характеристическое уравнение матрицы из коэффициентов дробно-линейной части уравнения (3.1) имеет вид $\lambda^2+18\lambda+24(2+\varepsilon)=0$. Собственные значения и собственные векторы равны $\lambda_{\pm}=-9\pm\sqrt{33-24\varepsilon},\ {\bf e}_{\pm}=(\varepsilon,\lambda_{\mp}).$

При $1{,}000 < \varepsilon < 1{,}375$ ($b \in (-\infty; -2\sqrt{6}/3) \cup (2\sqrt{6}/3; +\infty)$) собственные значения λ_{\pm} представляют собой действительные отрицательные числа, особая точка является узлом, из которого в направлении вектора e_{-} выходит единственная интегральная кривая, а оси, задаваемой вектором e_{+} , касается множество интегральных кривых (рис. 1). При $\varepsilon > 1{,}375$ ($b \in (-2\sqrt{6}/3; 2\sqrt{6}/3)/\{0\}$) собственные значения λ_{\pm} представляют собой комплексносопряженные числа, особая точка — фокус. При $\varepsilon = 1{,}375$ ($b = \pm 2\sqrt{6}/3$), $\lambda = -9$ особая точка является вырожденным узлом, в котором интегральные кривые касаются оси, задаваемой вектором $e = (1{,}375, -9)$.

Для представления интегральных кривых m=m(k) при $k\to\pm\infty$ в уравнение (2.6) вводится малый параметр δ : $k=\delta^{-5}k_1,\ m=\delta m_1$. При разложении решения по малому

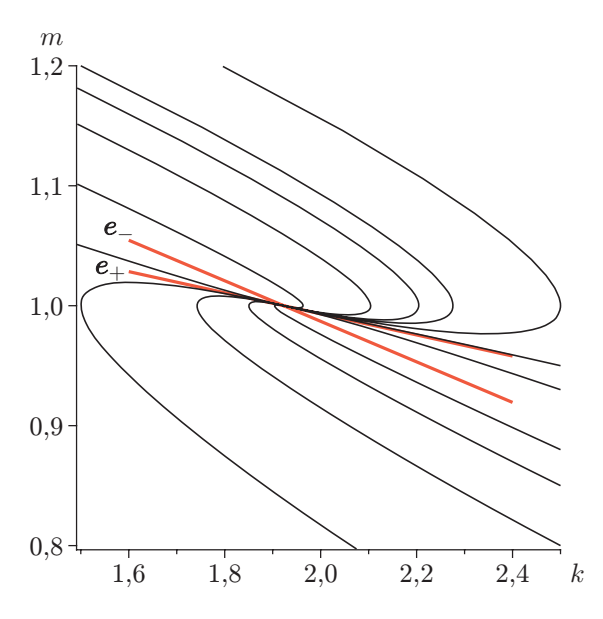


Рис. 1. Интегральные кривые уравнения (2.6) в окрестности особой точки $(1, 2\varepsilon^{-1})$ при $\varepsilon = 1{,}04$ (узел)

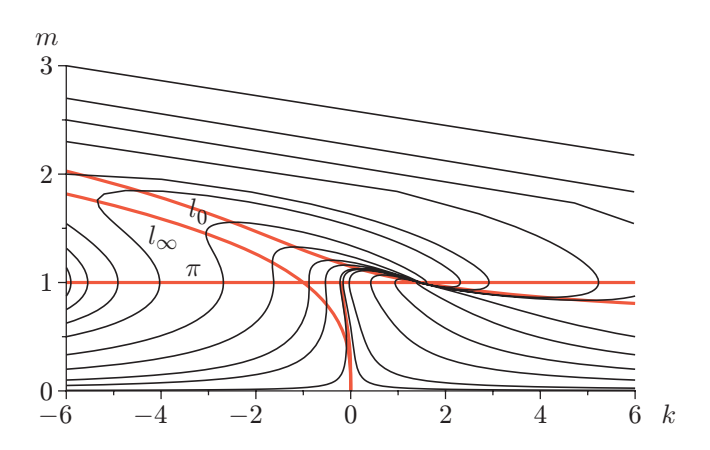


Рис. 2. Интегральные кривые уравнения (2.6) при $\varepsilon=1{,}375$ (вырожденный узел)

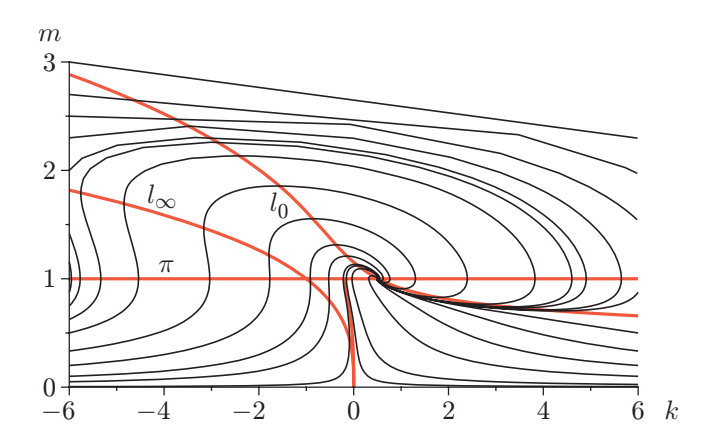


Рис. 3. Интегральные кривые уравнения (2.6) при $\varepsilon = 4$ (фокус)

параметру получаем в нулевом приближении уравнение

$$\frac{dm_1}{dk_1} = \frac{\varepsilon}{3} m_1^6 - \frac{m_1}{k_1},\tag{3.2}$$

решение которого имеет вид

$$m_1 = k_1^{-1} \left(C^{-5} + \frac{5\varepsilon}{12} k_1^{-4} \right)^{-1/5}. \tag{3.3}$$

Из (3.3) при $k_1 \to \pm \infty$ получаем $m_1 \sim C k_1^{-1}$. Следовательно, при $m \to 0, k \to \pm \infty$ интегральные кривые уравнения (2.6) имеют асимптотику $m \sim \delta^{-4} C k^{-1} = C_1 k^{-1}$.

Угловые коэффициенты касательных к интегральным кривым m=m(k) равны бесконечности на прямой π : m=1 и в точках кривой l_∞ : $k=-m^3$. Угловые коэффициенты равны нулю на оси k и в точках кривой l_0 : $k=\varepsilon^{-1}(3m^{-5}-m^3)$. Эти кривые подтверждают правильность вычислений интегральных кривых, представленных на рис. 1–3. При $1,000<\varepsilon<1,375$ и $\varepsilon=1,375$ (см. рис. 2) интегральные кривые качественно не различаются. Для $\varepsilon<1,75$ приведены интегральные кривые вблизи особой точки $(1,2\varepsilon^{-1})$ (см. рис. 1).

Далее рассматривается новое решение, соответствующее сепаратрисе седла.

4. Представление движения газа для сепаратрисы седла. Приближенно в окрестности седла его сепаратриса задается формулой $k \approx -m^3/4$ (для всех значений ε). Для представления движения газа, соответствующего этому решению, необходимо рассмотреть только малые значения $k \geqslant 0$. При использовании переменной s решение имеет вид

$$k = k_0 e^{-3bs}, \quad bs \to \infty, \quad k_0 \geqslant 0,$$
 (4.1)

что соответствует приближенному решению $\bar{x}=k_0\,\mathrm{e}^{-4bs}$ для уравнения (2.3). Для решения (4.1) при малых $\bar{x}\geqslant 0$ формулы (2.4) принимают вид

$$\bar{u} = -3b\bar{x}, \quad \bar{v} = -a\left(\frac{\bar{x}}{k_0}\right)^{1/4} \sin\left(\frac{1}{4b}\ln\frac{\bar{x}}{k_0}\right), \quad \bar{w} = -\left(\frac{\bar{x}}{k_0}\right)^{1/4} \cos\left(\frac{1}{4b}\ln\frac{\bar{x}}{k_0}\right),$$

$$\bar{\rho} = \pm (4bk_0)^{-1}, \qquad \bar{p} = \pm \bar{S}(4bk_0)^{-5/3}, \qquad \bar{S} = \pm 1.$$
(4.2)

В (4.2) знак выбирается из условия $\bar{\rho} > 0$, $\bar{p} > 0$. Подставляя выражения (4.2) в (1.1), получаем приближенное частное решение УГД при малых $x \geqslant 0$ либо при $t \to \pm \infty$.

При $t\to\infty$ газ растекается (давление уменьшается) до значений, соответствующих вакууму: $p\to 0,\, \rho\to 0$, температура $T=p\rho^{-1}R^{-1}=R^{-1}(4bk_0)^{-2/3}\,{\rm e}^{2b\tau}(1+t^2)^{-1}$ стремится к нулю. Движение газа является вихревым:

$$\boldsymbol{\omega} = (w_y - v_z, u_z - w_x, v_x - u_y) = \left(\frac{a^{-1} + a}{1 + t^2}; -\frac{a^{-1}b^{-1}v_1 + w_1}{4x}; \frac{v_1 - ab^{-1}w_1}{4x}\right) \neq 0,$$

$$v_1 = v - \frac{ty - az}{1 + t^2}, \qquad w_1 = w - \frac{tz + a^{-1}y}{1 + t^2}.$$

При $t \to \infty$ вектор $\boldsymbol{\omega}$ стремится к нулю. Мировые линии частиц определяются их скоростью:

$$\frac{d\mathbf{x}}{dt} = \mathbf{u}(\mathbf{x}, t). \tag{4.3}$$

Подставляя в уравнение (4.3) формулы (4.2), (1.1), интегрируя и выполняя замену $x_0 \rightarrow k_0 x_0, x_0 \geqslant 0$, получаем

$$x = k_0 x_0 \sqrt{1 + t^2} e^{-3b\tau}, y = -a(x_0^{1/4} \sin((4b)^{-1} \ln x_0) + z_0)t + y_0,$$

$$z = (x_0^{1/4} \cos((4b)^{-1} \ln x_0) + a^{-1}y_0)t + z_0$$
(4.4)

 $(x_0, y_0, z_0$ — лагранжевы координаты). Якобиан перехода от лагранжевых координат к эйлеровым равен $J = (1+t^2)^{3/2} e^{-3b\tau} > 0$. Мировые линии частиц не пересекаются. Формулы (4.4) задают кривые в \mathbb{R}^4 . Проекция кривых на плоскость (x,t) представлена на рис. 4 для двух значений параметра b (b = 0.25 — фокус, b = 1.70 — узел). У кривых имеются наклонные асимптоты при $t \to +\infty$: $x = k_0 x_0 e^{-3b\pi/2} (t+3b)$ и при $t \to -\infty$: $x = -k_0 x_0 e^{3b\pi/2} (t+3b)$ и минимум в точке t = 3b.

Система (4.4) допускает отражение $z \to -z, \ t \to -t, \ b \to -b,$ поэтому достаточно рассмотреть случай b>0.

При преобразовании растяжения $y \to a\bar{y}, y_0 \to a\bar{y}_0$ параметр a исключается (можно считать a=1). При $x_0=0$ формулы (4.4) принимают вид

$$x = 0,$$
 $\bar{y} = -z_0 t + \bar{y}_0,$ $z = \bar{y}_0 t + z_0.$

Частицы движутся в плоскости x=0 по прямым с направляющим вектором $\mathbf{q}=(-z_0,\bar{y}_0)$. Определим вид кривой $F(\bar{y}_0,z_0)=0$, с которой точки начинают двигаться по касательным к ней. Для этого направление касательной к кривой должно совпадать с \mathbf{q} ,

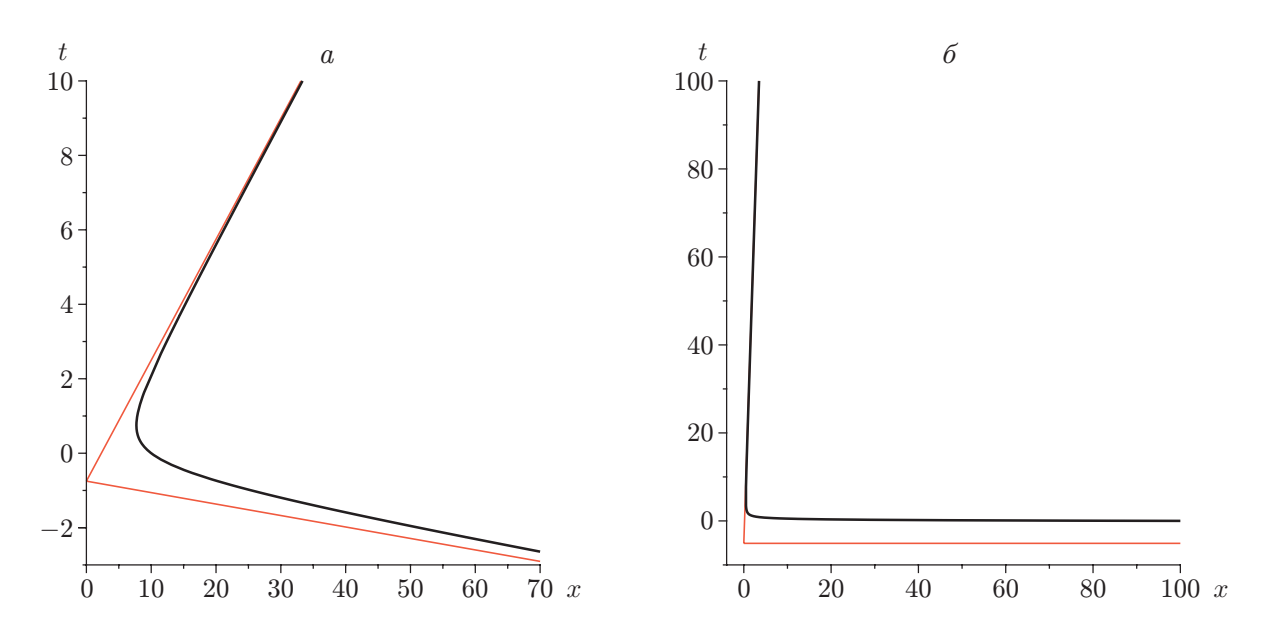


Рис. 4. Проекция кривых (4.4) на плоскость (x,t) при различных значениях параметров b, k_0x_0 :

$$a - b = 0.25, k_0 x_0 = 10, \delta - b = 1.70, k_0 x_0 = 100$$

а направление нормали $\boldsymbol{n}=(F_{\bar{y}_0},F_{z_0})$ должно быть коллинеарно вектору (\bar{y}_0,z_0) . Тогда $F_{\bar{y}_0}/\bar{y}_0=F_{z_0}/z_0$ и кривая представляет собой окружность с произвольным радиусом r:

$$\bar{y}_0^2 + z_0^2 = r^2. (4.5)$$

За время t точки окружности (4.5) окажутся на окружности с тем же центром в точке (0,0) и радиусом $r\sqrt{1+t^2}$.

Далее рассматривается случай $x_0>0$. Проекции движения частиц на плоскость (\bar{y},z) являются прямыми линиями с направляющим вектором $\boldsymbol{q}=(-z_0-x_0^{1/4}\sin{((4b)^{-1}\ln{x_0})},\bar{y}_0+x_0^{1/4}\cos{((4b)^{-1}\ln{x_0})})$. Аналогичным образом в плоскости $x=x_0$ определяется вид кривой $F(\bar{y}_0,z_0)=0$,

Аналогичным образом в плоскости $x=x_0$ определяется вид кривой $F(\bar{y}_0,z_0)=0$, с которой проекции точек (x_0,\bar{y}_0,z_0) на эту плоскость начинают двигаться по касательным к ней. Для этого должно выполняться соотношение

$$\frac{F_{\bar{y}_0}}{\bar{y}_0 + x_0^{1/4} \cos((4b)^{-1} \ln x_0)} = \frac{F_{z_0}}{z_0 + x_0^{1/4} \sin((4b)^{-1} \ln x_0)}.$$

Тогда искомая кривая представляет собой окружность с центром $(-x_0^{1/4}\cos{((4b)^{-1}\ln{x_0})}, -x_0^{1/4}\sin{((4b)^{-1}\ln{x_0})})$ и произвольным радиусом R:

$$(\bar{y}_0 + x_0^{1/4}\cos((4b)^{-1}\ln x_0))^2 + (z_0 + x_0^{1/4}\sin((4b)^{-1}\ln x_0))^2 = R^2.$$
(4.6)

Из равенств (4.4) выразим \bar{y}_0 , z_0 при фиксированном x_0 :

$$\bar{y}_0 = \frac{\bar{y} + zt + tx_0^{1/4} (\sin((4b)^{-1} \ln x_0) - t\cos((4b)^{-1} \ln x_0))}{1 + t^2},$$

$$z_0 = \frac{z - \bar{y}t - tx_0^{1/4} (t\sin((4b)^{-1} \ln x_0) + \cos((4b)^{-1} \ln x_0))}{1 + t^2}.$$

Из (4.6) следует

$$(\bar{y} + x_0^{1/4}\cos((4b)^{-1}\ln x_0))^2 + (z + x_0^{1/4}\sin((4b)^{-1}\ln x_0))^2 = R^2(1+t^2). \tag{4.7}$$

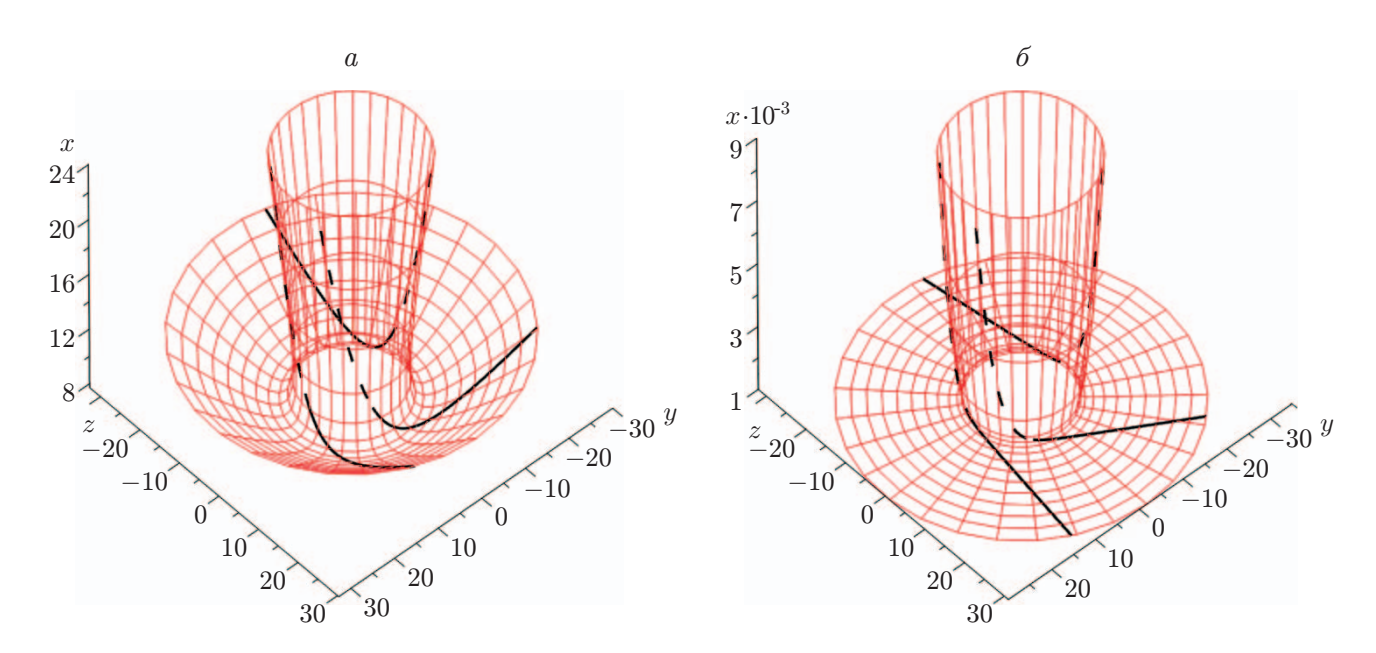
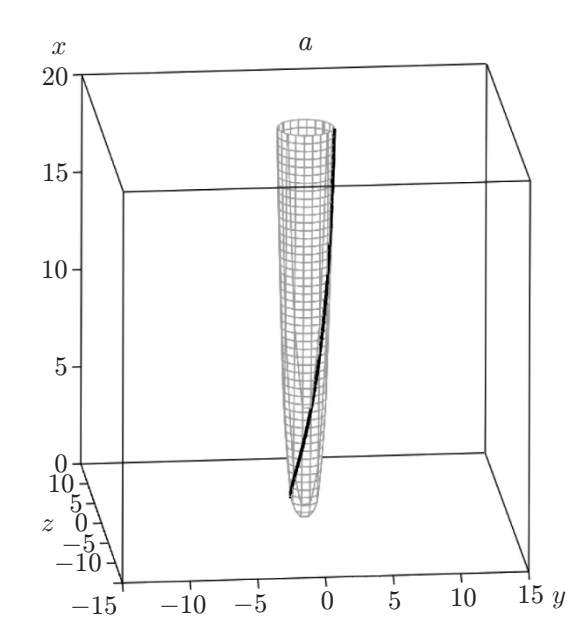


Рис. 5. Поверхность, на которой расположены траектории частиц, при R=10 и различных значениях параметров $b,\ k_0,\ x_0$: $a-b=0.25,\ k_0=1,\ x_0=10;\ \delta-b=1.70,\ k_0=10,\ x_0=10;$ сплошные линии — для положительных значений времени t, штриховые — для отрицательных значений времени t

В момент времени t проекции частиц на плоскость (\bar{y},z) будут находиться на окружности с тем же центром и радиусом $R\sqrt{1+t^2}$. Уравнение (4.7) и первое уравнение (4.4) задают уравнение поверхности, на которой расположены траектории частиц. На рис. 5 показаны эта поверхность, траектории частиц для отрицательных и положительных значений времени t при различных значениях параметра b. Видно, что качественно интегральные кривые хорошо согласуются.

Таким образом, в пространстве (x, \bar{y}, z) в каждой плоскости $x = x_0$ имеются окружности, с которых проекции частиц начинают двигаться по касательным. Центры этих окружностей $(x_0, -x_0^{1/4}\cos{((4b)^{-1}\ln{x_0})}, -x_0^{1/4}\sin{((4b)^{-1}\ln{x_0})})$ расположены на кривой, которая в цилиндрической системе координат $x = x, \ \bar{y} = r\cos{\varphi}, \ z = r\sin{\varphi}$ задается как линия пересечения цилиндра, направляющая которого является логарифмической спиралью $r = e^{b\varphi}$, и поверхности $x = r^4$ (рис. 6). Частицы, в начальный момент времени находящиеся на кривой, на которой расположены центры окружностей, движутся только вдоль оси Ox.

Заключение. Исследовано решение, соответствующее приближению сепаратрисы в окрестности седла уравнения (2.6) для подмодели (1.2). Движение частиц, задаваемое этим решением, описывается следующим образом. В каждой плоскости $x=x_0$ существует центр концентрических окружностей, расположенных на кривой, образующейся при пересечении поверхности $x=r^4$ и цилиндра (образующая цилиндра параллельна оси Ox, направляющая представляет собой логарифмическую спираль $r=\mathrm{e}^{b\varphi}$). Из точки какой-либо концентрической окружности проводятся полукасательная и полупрямая, параллельная оси Ox. Эти полупрямые задают плоскость, в которой расположена траектория частицы, выходящей из этой точки. В любой момент времени проекции частиц, выходящих с данной окружности, на плоскость $x=x_0$ окажутся на окружности, концентрической с исходной. Следовательно, траектории этих частиц образуют поверхности вращения, оси которых па-



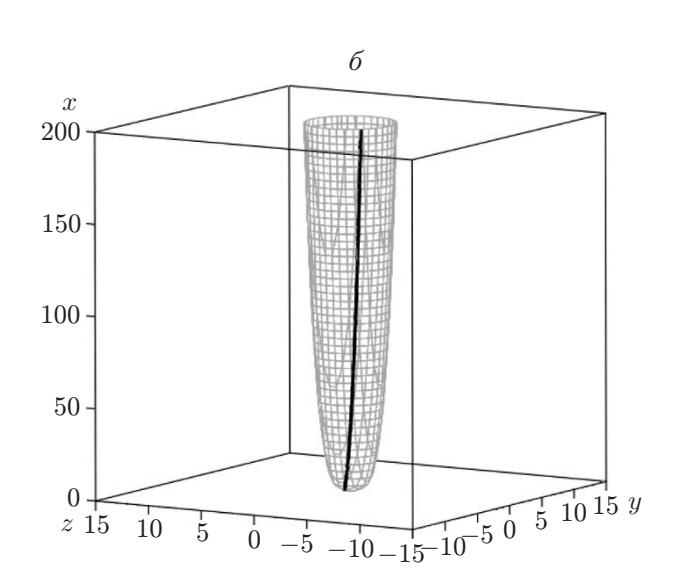


Рис. 6. Кривая, на которой расположены центры окружностей вида (4.6), при различных значениях b:

a - b = 0.25, $\delta - b = 1.70$

раллельны оси Ox и проходят через центр концентрических окружностей, расположенный в плоскости $x=x_0$. Таким образом, решение задает разлет газа в пространстве вдоль плоских кривых с непараллельными плоскостями, что объясняет наличие ненулевого вихря в каждой точке пространства.

ЛИТЕРАТУРА

- 1. **Овсянников Л. В.** Программа ПОДМОДЕЛИ. Газовая динамика // Прикл. математика и механика. 1994. Т. 58, № 4. С. 30–55.
- 2. **Черевко А. А.** Оптимальная система подалгебр для алгебры Ли операторов, допускаемых системой уравнений газовой динамики с уравнением состояния $p = f(S)\rho^{5/3}$. Новосибирск, 1996. (Препр. / CO PAH. Ин-т гидродинамики; № 4-96).
- 3. **Головин С. В.** Подмодели динамики политропного газа: Дис. . . . канд. физ.-мат. наук. Новосибирск, 2000.
- 4. **Шаяхметова Р. Ф.** Вложенные инвариантные подмодели движения одноатомного газа // Сиб. электрон. мат. изв. 2014. Т. 11. С. 605–625.
- 5. **Никольский А. А.** Инвариантное преобразование уравнений движения идеального одноатомного газа и новые классы их точных решений // Прикл. математика и механика. 1963. Т. 27, № 3. С. 496–508.
- 6. Седов Л. И. Методы подобия и размерности в механике. М.: Гостехтеоретиздат, 1954.
- 7. **Хабиров С. В.** Нестационарное инвариантное решение уравнений газовой динамики, описывающее растекание газа до вакуума // Прикл. математика и механика. 1988. Т. 52, № 6. С. 967–975.
- 8. **Павленко А. С.** Симметрии и решения уравнений двумерных движений политропного газа // Сиб. электрон. мат. изв. 2005. Т. 2. С. 291–307.
- 9. **Павленко А. С.** Проективная подмодель вихря Овсянникова // ПМТФ. 2005. Т. 46, № 4. С. 3–16.

10. Чесноков А. А. Симметрии и точные решения уравнений мелкой воды на пространственном сдвиговом потоке // ПМТФ. 2008. Т. 49, № 5. С. 41–54.

- 11. **Барлукова А. М., Чупахин А. П.** Частично инвариантные решения в газовой динамике и неявные уравнения // ПМТФ. 2012. Т. 53, № 6. С. 11–24.
- 12. **Головин С. В.** Об одном инвариантном решении уравнений газовой динамики // ПМТФ. 1997. Т. 38, № 1. С. 3–10.
- 13. **Головин С. В.** Точные решения для эволюционных подмоделей газовой динамики // ПМТФ. 2002. Т. 43, № 4. С. 3–14.
- 14. **Шаяхметова Р. Ф.** Завихренный разлет одноатомного газа // Тр. Ин-та механики Уфим. науч. центра РАН. 2014. Вып. 10. С. 110–113.
- 15. **Зайцев В. Ф.** Справочник по обыкновенным дифференциальным уравнениям / В. Ф. Зайцев, А. Д. Полянин. М.: Физматлит, 2001.

Поступила в редакцию $15/XII\ 2015\ г.,$ в окончательном варианте — $25/IV\ 2017\ г.$